

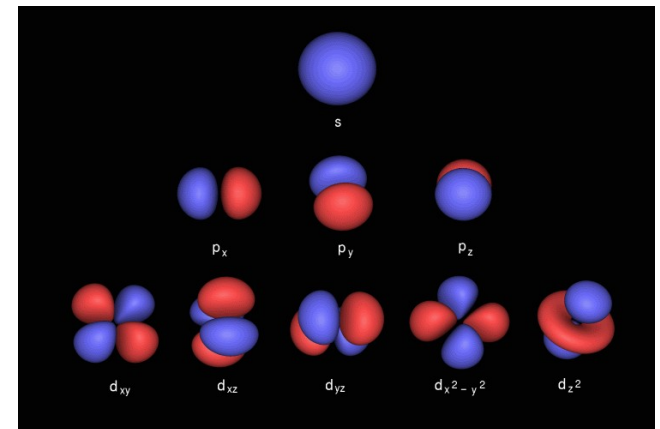
# “Revisão de Física Moderna”

## ■ A equação de Schrödinger:

- Fundamentos.

- Exemplos:

- Partículas livres.
- Poço infinito de potencial.
- Elétrons livres em metais.
- Tunelamento de barreiras.
- Átomo de hidrogênio.



# Alguns problemas e experimentos históricos

*Séculos XIX-XX*

- **Radiação térmica**: catástrofe do ultravioleta, **modelo de Planck**.
- **Fótons**: **efeito fotoelétrico**, **modelo de Einstein**, experimentos de Millikan; **efeito Compton**.
- **Ondas de matéria**: hipótese de de Broglie, experimento de Davisson-Germer, **difração de elétrons**.
- **Modelos atômicos**: espectros de raias; modelos de Rutherford, **Bohr**, Sommerfeld; átomo de hidrogênio; **equação de Schrödinger**.
- **Spin do elétron**: experimento de Stern-Gerlach, efeito Zeeman, átomos multieletrônicos.
- **Calor específico dos sólidos**: lei de Dulong-Petit, modelo de Einstein, modelo de Debye.

# Analogia com o eletromagnetismo

- Lei de Coulomb, Lei de Gauss.
- Lei de Ampère. Lei de Biot-Savart.
- Lei de Faraday. Lei de Lenz.
- Experimentos de Hertz.
- Experimentos de Young, Fresnel, Fraunhofer.
- (...)

## ***Equações de Maxwell***

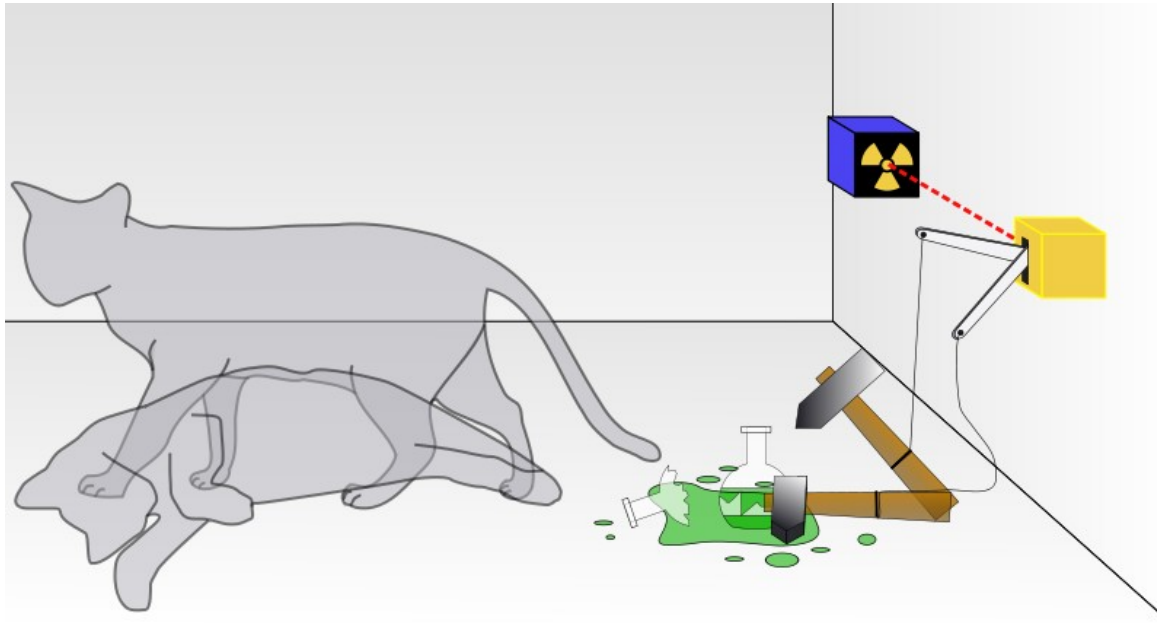


*Unificação do Eletromagnetismo / Ótica*

$$\begin{aligned}\vec{\nabla} \cdot \vec{D} &= \rho \\ \vec{\nabla} \times \vec{E} &= -\frac{\partial \vec{B}}{\partial t} \\ \vec{\nabla} \cdot \vec{B} &= 0 \\ \vec{\nabla} \times \vec{H} &= \vec{J} + \frac{\partial \vec{D}}{\partial t}\end{aligned}$$

# A equação de Schrödinger

Schrödinger e o paradoxo do gato:



Erwin Schrödinger (1887-1961)  
*Nobel de Física 1933*

[http://en.wikipedia.org/wiki/Schr%C3%B6dinger's\\_cat](http://en.wikipedia.org/wiki/Schr%C3%B6dinger's_cat)

# A equação de Schrödinger

Função de onda:  $\Psi(\vec{r}, t)$   $\Rightarrow$  Estado do sistema

Energia potencial:  $V(\vec{r}, t)$



Erwin Schrödinger (1887-1961)  
Nobel de Física 1933

Equação em 1 dimensão:

$$-\frac{\hbar^2}{2m} \frac{\partial^2 \Psi(x, t)}{\partial x^2} + V(x, t) \Psi(x, t) = i\hbar \frac{\partial \Psi(x, t)}{\partial t}$$

$\hbar = h / 2\pi$

$m \rightarrow$  massa da partícula

Equação em 3 dimensões:

$$-\frac{\hbar^2}{2m} \nabla^2 \Psi(\vec{r}, t) + V(\vec{r}, t) \Psi(\vec{r}, t) = i\hbar \frac{\partial \Psi(\vec{r}, t)}{\partial t}$$

# Analogia com o eletromagnetismo

Função de onda:  $\vec{E}(\vec{r}, t) ; \vec{B}(\vec{r}, t)$

Equação de uma onda eletromagnética no vácuo:  $\nabla^2 \vec{E}(\vec{r}, t) - \frac{1}{c^2} \frac{\partial^2 \vec{E}}{\partial t^2} = 0$

Soluções de ondas planas monocromáticas:

$$\vec{E}(\vec{r}, t) = \vec{E}_0 e^{i(\vec{k} \cdot \vec{r} - \omega t)}$$

$$\vec{B}(\vec{r}, t) = \vec{B}_0 e^{i(\vec{k} \cdot \vec{r} - \omega t)}$$

Intensidade média da onda:  $I \propto |\vec{E}_0|^2$

# A equação de Schrödinger

Interpretação probabilística da função de onda (1D):

$$P(x, t) = \Psi^*(x, t)\Psi(x, t) = |\Psi(x, t)|^2$$

$$dP = P(x, t)dx$$

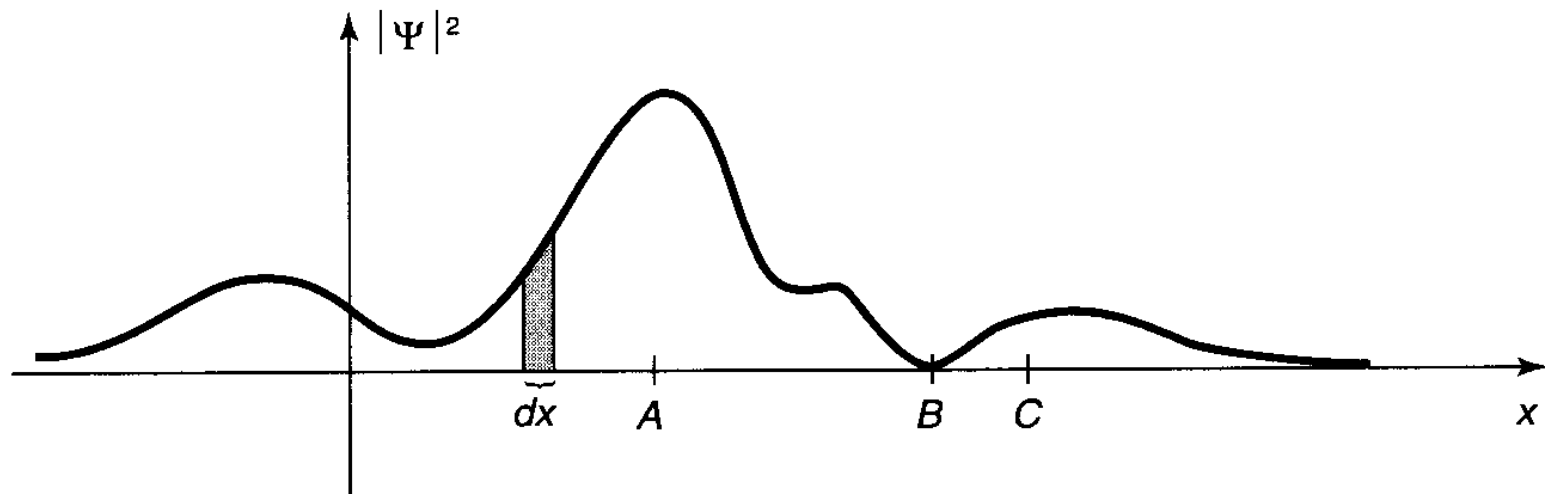
Probabilidade de localizar a partícula entre  $x$  e  $x + dx$  no instante  $t$ .

Condição de normalização:

$$\int_{-\infty}^{\infty} P(x, t)dx = \int_{-\infty}^{\infty} |\Psi(x, t)|^2 dx = 1$$

# A equação de Schrödinger

Interpretação probabilística da função de onda (1D):



**Figure 1.2:** A typical wave function. The particle would be relatively likely to be found near  $A$ , and unlikely to be found near  $B$ . The shaded area represents the probability of finding the particle in the range  $dx$ .



# A equação de Schrödinger independente do tempo

Energia potencial independente do tempo:  $V(\vec{r}, t) = V(\vec{r})$

Separação de variáveis:  $\Psi(\vec{r}, t) = \psi(\vec{r})\phi(t)$   $E = \hbar\omega$

$$\phi(t) = e^{-iEt/\hbar} = e^{-i\omega t} \quad E \rightarrow \text{energia total da partícula}$$

Estados estacionários com energia  $E$ :

$$|\Psi(x, t)|^2 = |\psi(x)\phi(t)|^2 = |\psi(x)|^2$$

$$P(x, t) = P(x) \rightarrow \text{independente do tempo}$$

# A equação de Schrödinger independente do tempo

Estados estacionários com energia  $E$ :  $\Psi(\mathbf{r}, t) = \psi(\mathbf{r})e^{-iEt/\hbar}$

Equação em 1 dimensão:

$$-\frac{\hbar^2}{2m} \frac{d^2\psi}{dx^2} + V(x)\psi(x) = E\psi(x)$$

Equação em 3 dimensões:

$$-\frac{\hbar^2}{2m} \nabla^2 \psi(\mathbf{r}) + V(\mathbf{r})\psi(\mathbf{r}) = E\psi(\mathbf{r})$$

# A equação de Schrödinger independente do tempo

Operadores associados a grandezas físicas – Observáveis:

Grandeza Clássica	Operador Quântico
$x$	$x$
$\vec{r}$	$\vec{r}$
$p_x$	$-i\hbar\partial/\partial x$
$\vec{p}$	$-i\hbar\nabla$
$E$	$i\hbar\partial/\partial t$
$T$	$-(\hbar^2/2m)\nabla^2$
$\vec{L}$	$-i\hbar\vec{r} \times \nabla$

$$Q_{op} \Psi(\vec{r}, t) = Q \Psi(\vec{r}, t)$$

Operator                      Resultado (autovalor)

Valor esperado:  $\langle Q \rangle = \int_{-\infty}^{\infty} \Psi^* Q_{op} \Psi dx$

Operador associado à energia total – Hamiltoniano:

$$H = \frac{p^2}{2m} + V(\vec{r}) = -\frac{\hbar^2}{2m} \nabla^2 + V(\vec{r})$$

$$H \psi(\vec{r}) = E \psi(\vec{r})$$

# Partículas livres

Ausência de forças / potenciais:

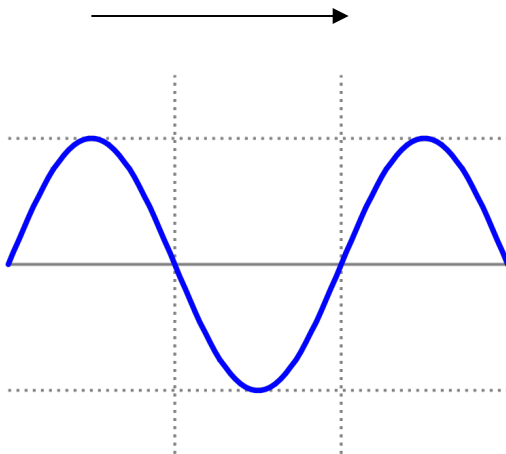
$$V(\mathbf{r}, t) = 0$$

Soluções de onda plana:  $\Psi(\mathbf{r}, t) = Ae^{i\mathbf{k} \cdot \mathbf{r}} e^{-iEt/\hbar} = Ae^{i(\mathbf{k} \cdot \mathbf{r} - \omega t)}$

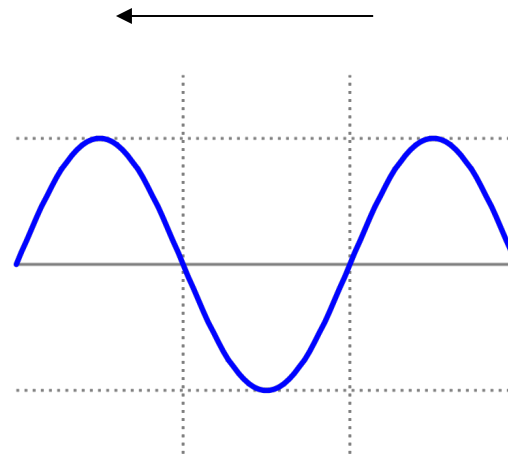
Momento linear:

$$\mathbf{p} = \hbar \mathbf{k} \quad \lambda = \frac{2\pi}{k} = \frac{h}{p}$$

$A$ : constante de normalização –  
depende do volume da região  
ocupada pela partícula



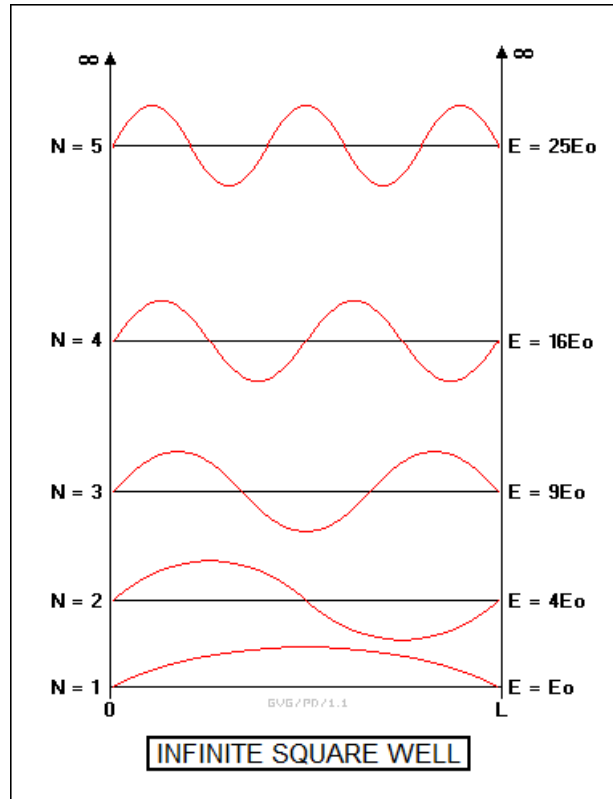
$$\Psi^+(x, t) = Ae^{i(kx - \omega t)}$$



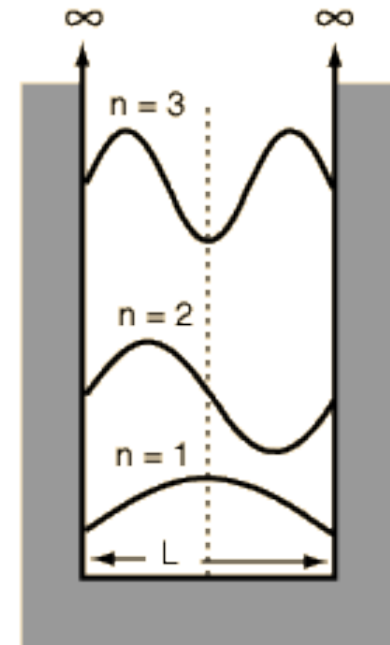
$$\Psi^-(x, t) = Ae^{-i(kx + \omega t)}$$

# Poço infinito de potencial

Partícula em uma “caixa”:



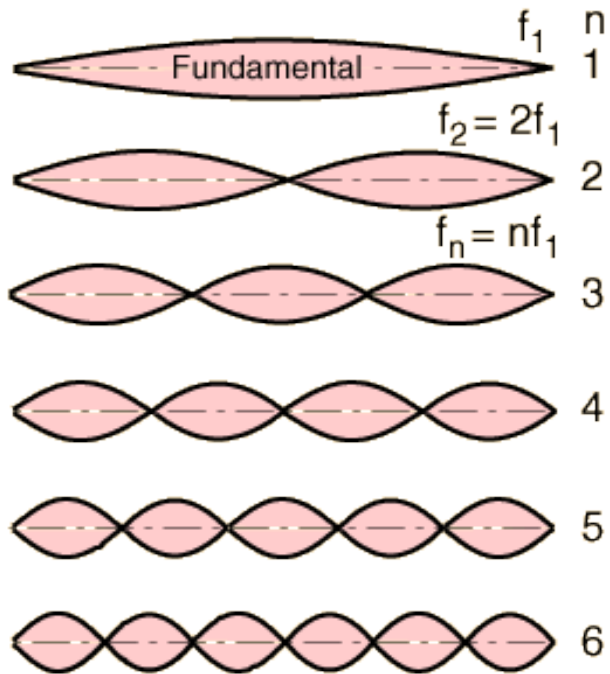
$$\psi_n(x) = \sqrt{\frac{2}{L}} \sin \frac{n\pi}{L} x \quad E_n = \frac{h^2 \pi^2}{2mL^2} n^2$$



$x = 0$  at left wall of box.

# Poço infinito de potencial

Analogia com ondas estacionárias em uma corda – modos normais e harmônicos:



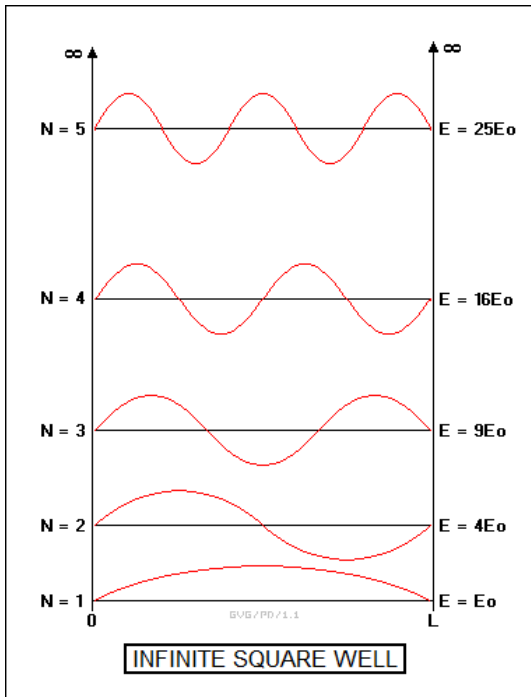
$$f_1 = \frac{v}{2L}$$



# Poço infinito de potencial

## Partícula em uma “caixa”:

$$\psi_n(x) = \sqrt{\frac{2}{L}} \sin \frac{n\pi}{L} x \quad E_n = \frac{\hbar^2 \pi^2}{2mL^2} n^2$$

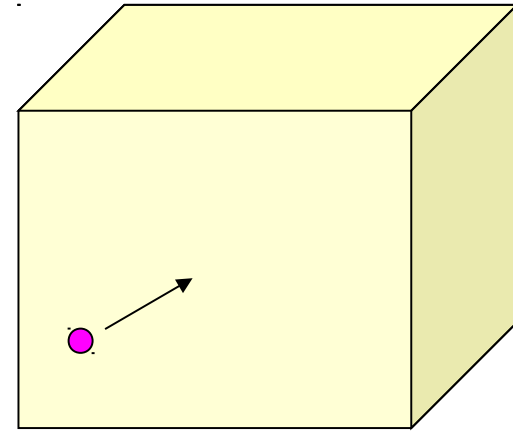
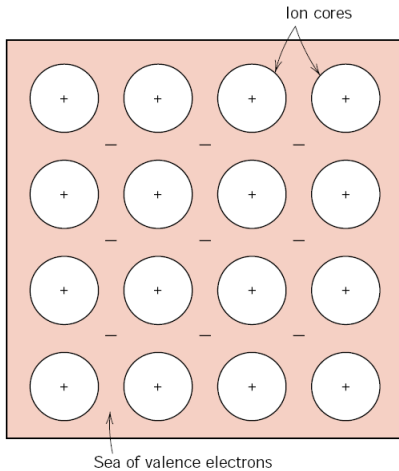


### Resultados:

- Função de onda **confinada** a uma região do espaço.
- **Quantização da energia** da partícula ( $n$  = **número quântico**).
- Estado de menor energia: **estado fundamental**.
- Mínima energia não nula: **energia de ponto zero**.

# Poço infinito de potencial

Aplicação do modelo de partícula em uma “caixa” - elétrons livres em metais:



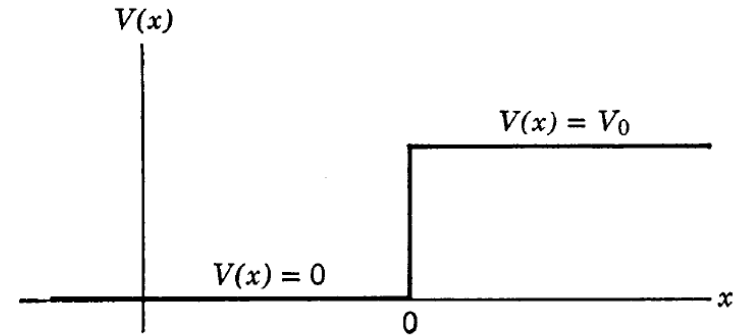
*Fundamentals of Materials Science and Engineering*, Callister.

$$\psi_{n_x n_y n_z}(\mathbf{r}) = \sqrt{\frac{8}{V}} \sin\left(\frac{n_x \pi}{L_x} x\right) \sin\left(\frac{n_y \pi}{L_y} y\right) \sin\left(\frac{n_z \pi}{L_z} z\right)$$

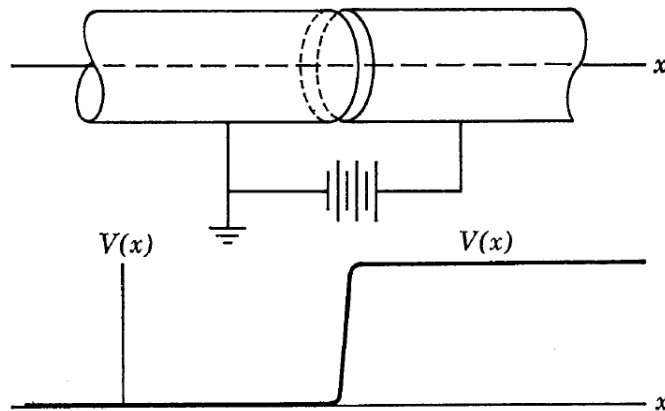
$$E_{n_x n_y n_z} = \frac{\hbar^2 \pi^2}{2m} \left( \frac{n_x^2}{L_x^2} + \frac{n_y^2}{L_y^2} + \frac{n_z^2}{L_z^2} \right)$$



# Potencial degrau



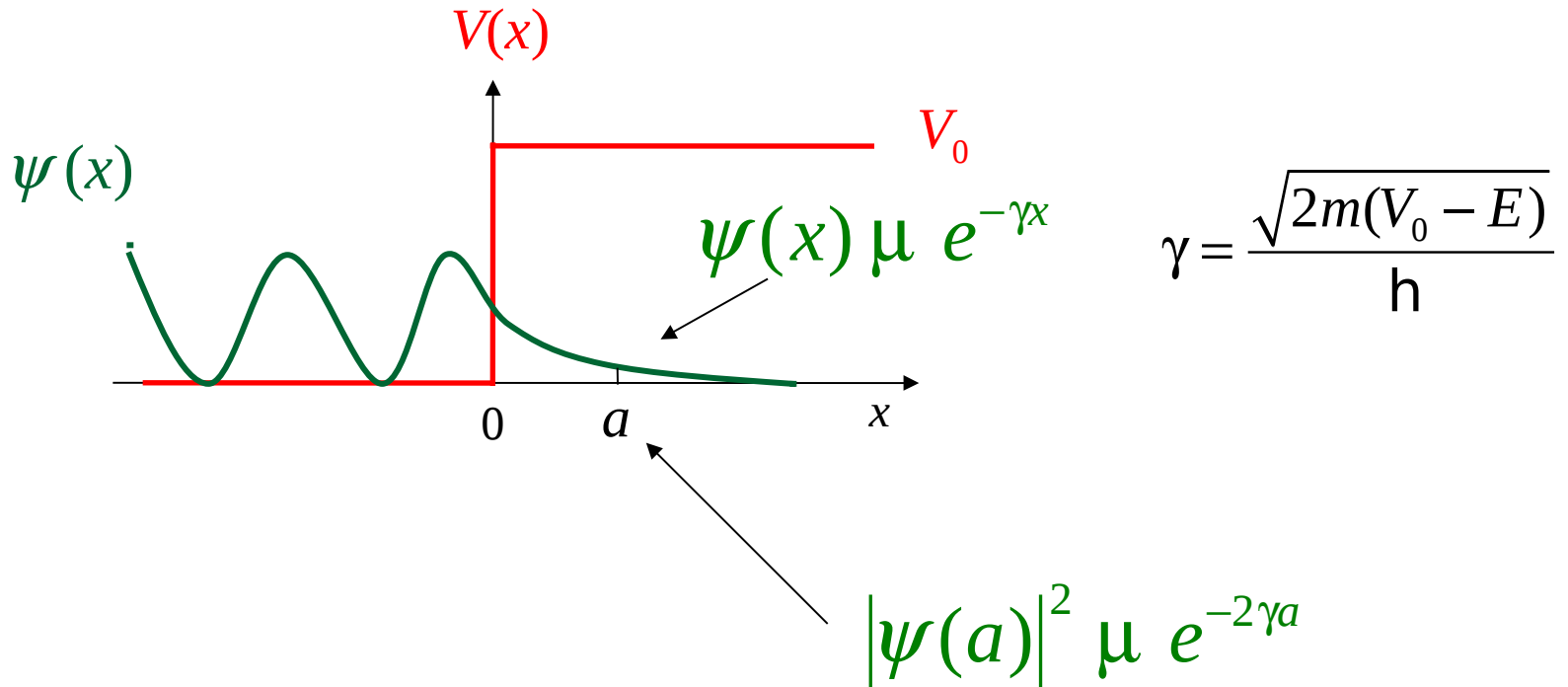
**Figure 6-3** A step potential.



**Figure 6-4** Illustrating a physical system with a potential energy function that can be approximated by a step potential. A charged particle moves along the axis of two cylindrical electrodes held at different voltages. Its potential energy is constant when it is inside either electrode, but it changes very rapidly when passing from one to the other.

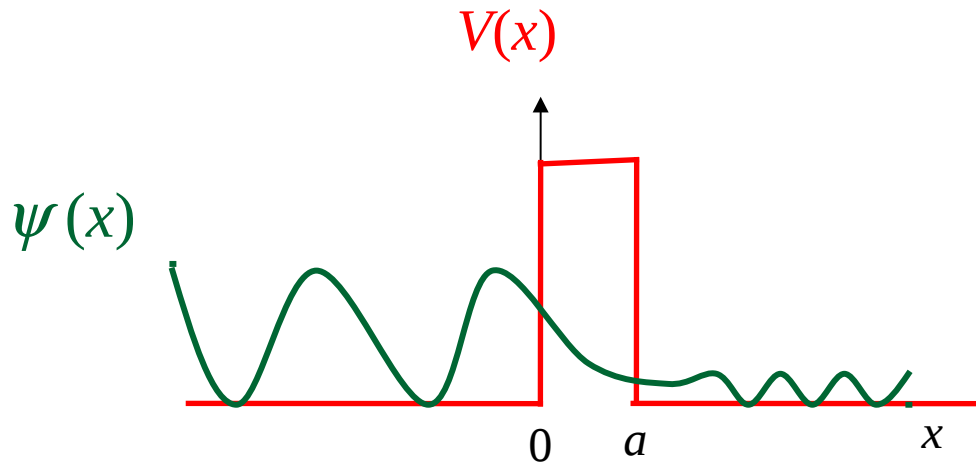
# Potencial degrau

Transmissão na “região classicamente proibida”:



# Barreira de potencial - tunelamento

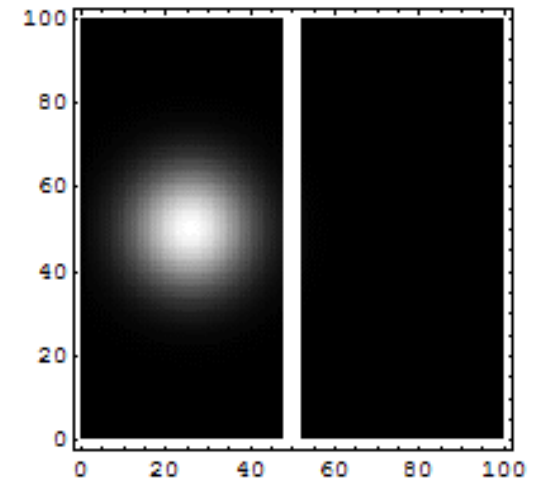
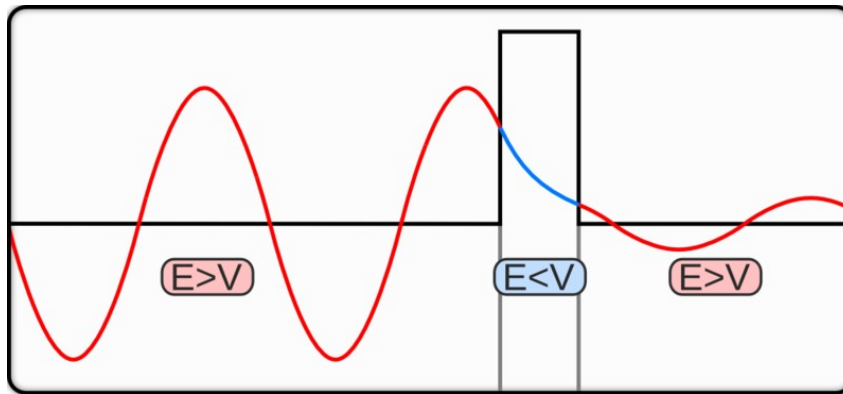
Transmissão na “região classicamente proibida”:



$$\text{Probabilidade de transmissão} \cong |\psi(a)|^2 \propto e^{-2\gamma a}$$

# Barreira de potencial - tunelamento

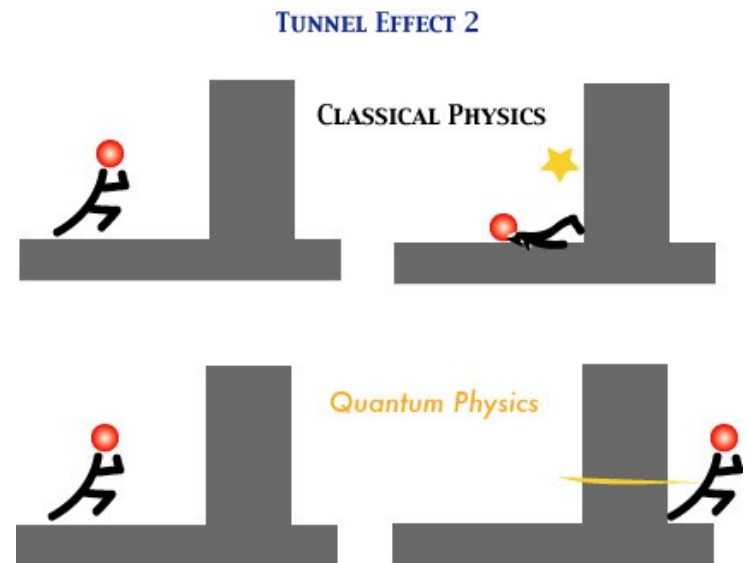
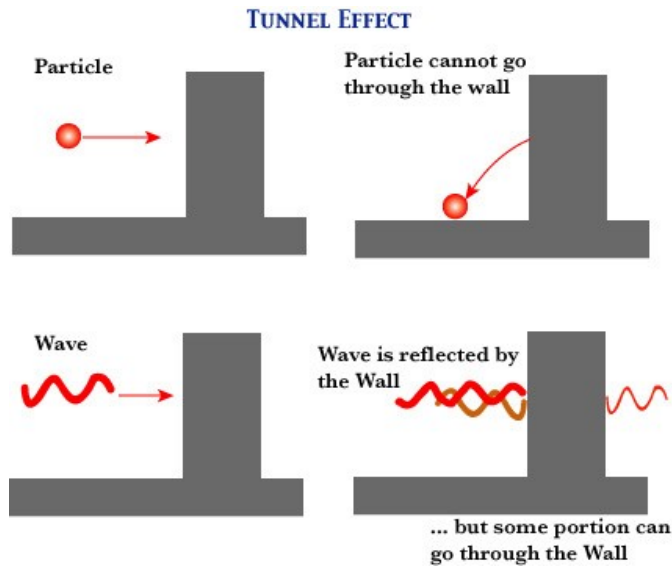
Efeito túnel:



[http://en.wikipedia.org/wiki/Quantum\\_tunneling](http://en.wikipedia.org/wiki/Quantum_tunneling)

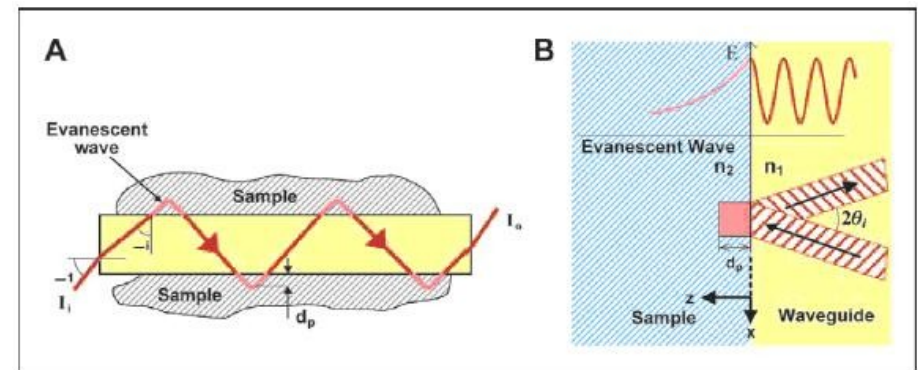
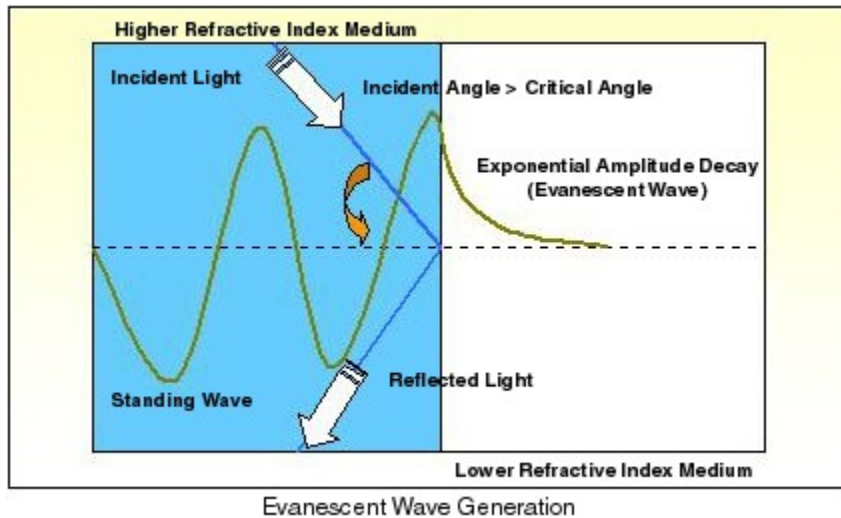
# Barreira de potencial - tunelamento

## Efeito túnel:



# Barreira de potencial - tunelamento

## Penetração na barreira - ondas evanescentes:



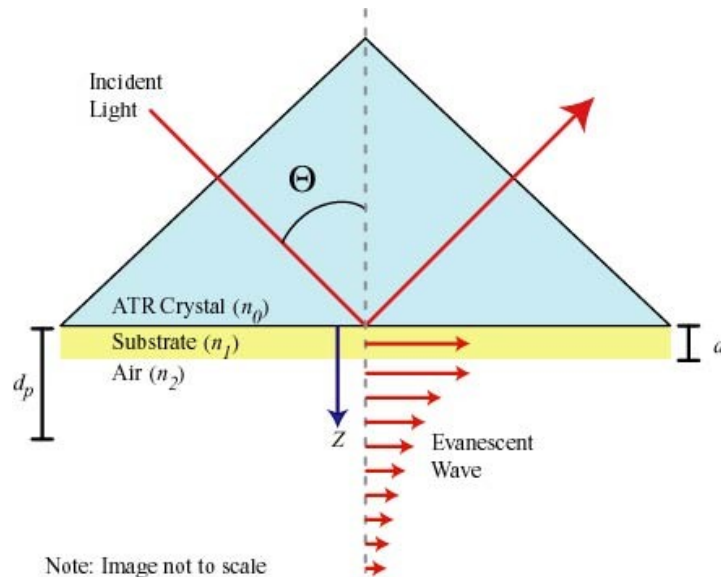
(A) Evanescent wave in a waveguide, in contact with a sample. (B) Evanescent wave at the interface between two media, under total internal reflection.

[http://www.photonics.cusat.edu/Research\\_Fiber%20Sensors\\_EW.html](http://www.photonics.cusat.edu/Research_Fiber%20Sensors_EW.html)

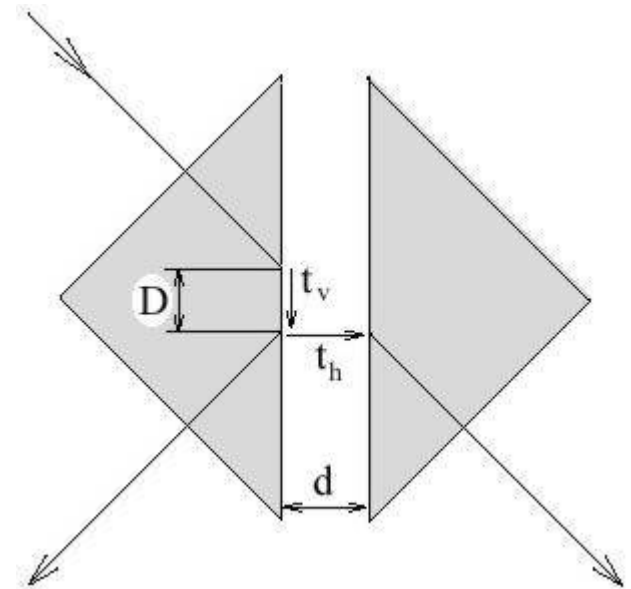
[http://www.tau.ac.il/~applphys/research\\_fews.htm](http://www.tau.ac.il/~applphys/research_fews.htm)

# Barreira de potencial - tunelamento

Efeito túnel em ótica – reflexão interna total frustrada:



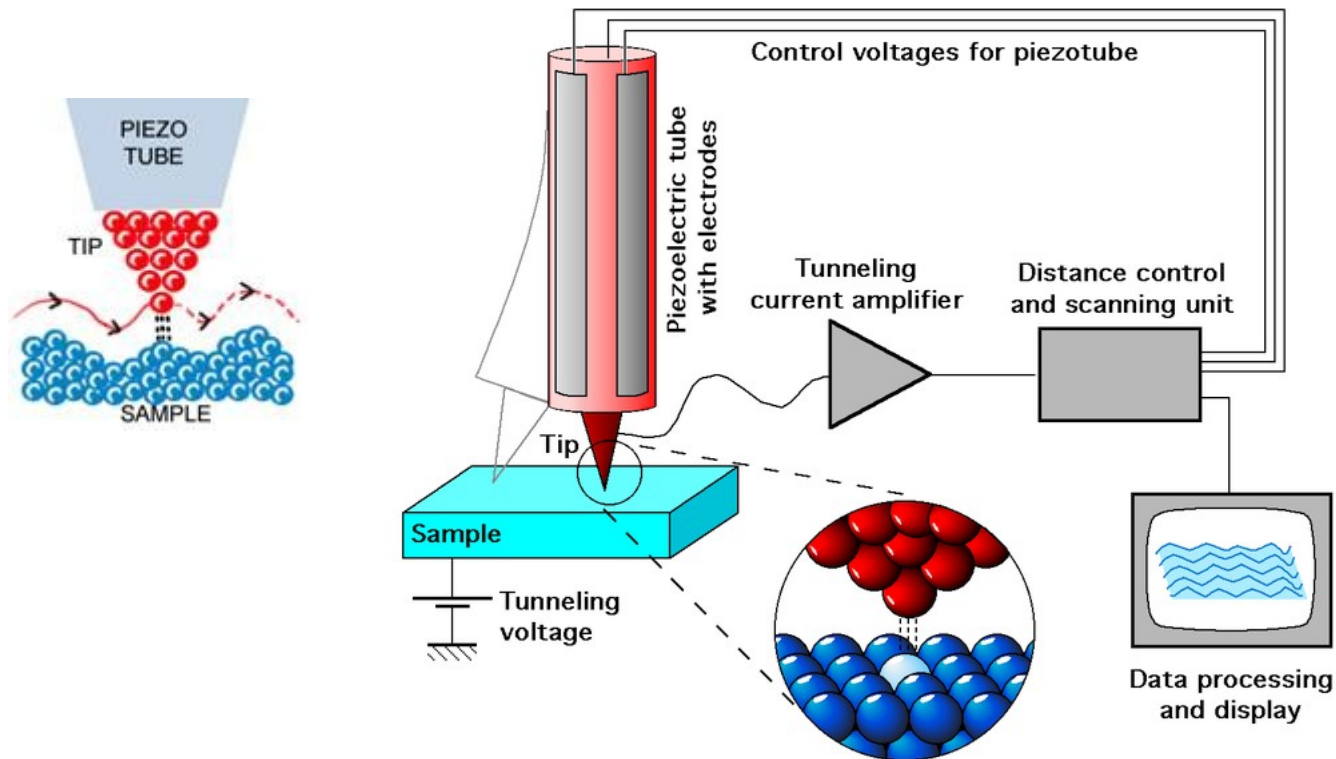
[http://www.nano.psu.edu/~aad/current\\_projects.htm](http://www.nano.psu.edu/~aad/current_projects.htm)



<http://www.popularscience.co.uk/features/feat11.htm>

# Aplicações do efeito túnel

Exemplos: decaimento alfa, emissão eletrônica, junção túnel, diodo Josephson, microscópio de tunelamento (STM – “scanning tunneling microscope”), ...

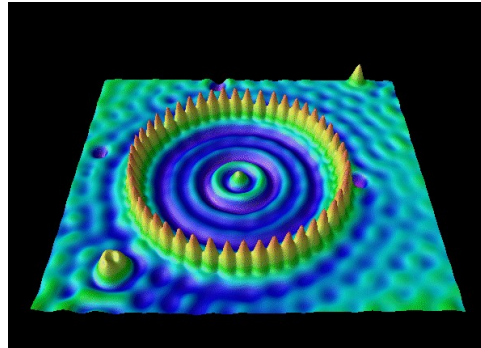




# Microscopia eletrônica de tunelamento

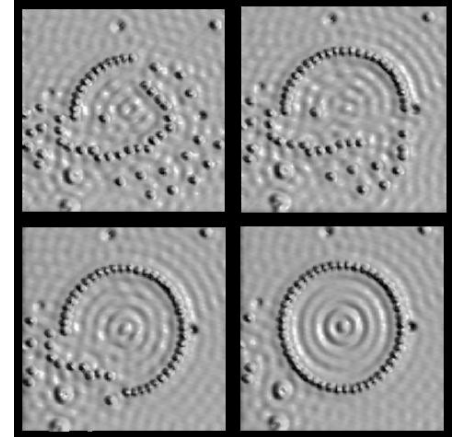
Algumas imagens de STM - nanomateriais:

Superfície de Cu/Fe:

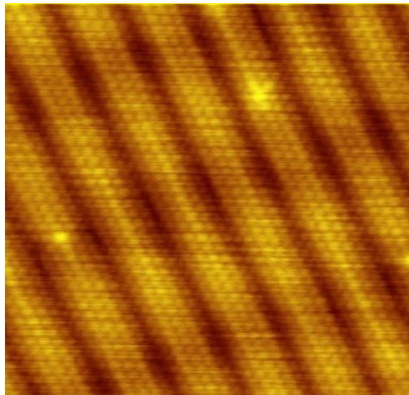


<http://www.almaden.ibm.com/vis/stm/>

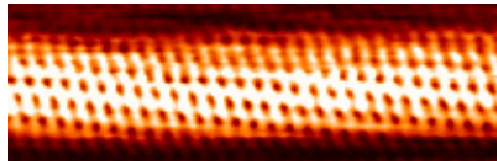
Superfície de Cu/Fe:



Superfície de ouro:



Nanotubo de carbono:



[http://en.wikipedia.org/wiki/Scanning\\_tunnelling\\_microscope](http://en.wikipedia.org/wiki/Scanning_tunnelling_microscope)

# Átomo de hidrogênio

Equação de Schrödinger em 3D:

$$-\frac{\hbar^2}{2m} \nabla^2 \psi(\mathbf{r}) + V(\mathbf{r}) \psi(\mathbf{r}) = E \psi(\mathbf{r})$$

$$\psi(\mathbf{r}) = R(r)Y(\theta, \phi)$$

$$V(\mathbf{r}) = V(r)$$

Separação de variáveis:

$$\frac{1}{R} \frac{d}{dr} \left( r^2 \frac{dR}{dr} \right) - \frac{2mr^2}{\hbar^2} [V(r) - E] = l(l+1)$$

$$\frac{1}{Y} \left\{ \frac{1}{\sin \theta} \frac{\partial}{\partial \theta} \left( \sin \theta \frac{\partial Y}{\partial \theta} \right) + \frac{1}{\sin^2 \theta} \frac{\partial^2 Y}{\partial \phi^2} \right\} = -l(l+1)$$

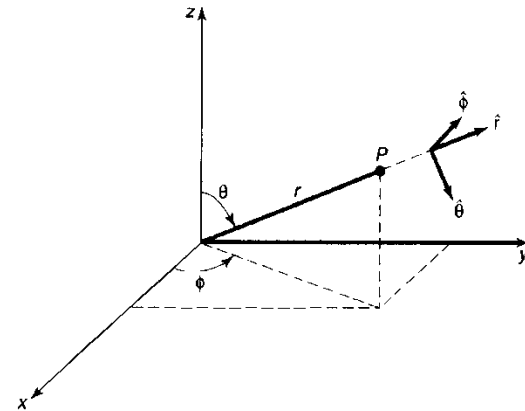


Figure 4.1: Spherical coordinates: radius  $r$ , polar angle  $\theta$ , and azimuthal angle  $\phi$ .

# Átomo de hidrogênio

Equação de Schrödinger em 3D:

$$-\frac{\hbar^2}{2m} \nabla^2 \psi(\mathbf{r}) + V(\mathbf{r}) \psi(\mathbf{r}) = E \psi(\mathbf{r})$$

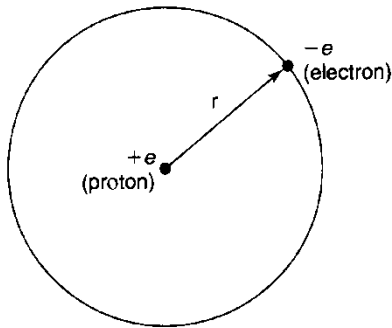
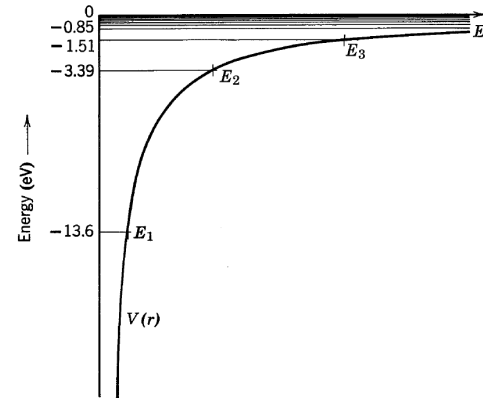


Figure 4.3: The hydrogen atom.

*Introduction to Quantum Mechanics*, Griffiths, 1995.

$$V(\mathbf{r}) = V(r) = -\frac{e^2}{4\pi\epsilon_0} \frac{1}{r}$$



**Figure 7-3** The Coulomb potential  $V(r)$  and its eigenvalues  $E_n$ . For large values of  $n$  the eigenvalues become very closely spaced in energy since  $E_n$  approaches zero as  $n$  approaches infinity. Note that the intersection of  $V(r)$  and  $E_n$ , which defines the location of one end of the classically allowed region, moves out as  $n$  increases. Not shown in this figure is the continuum of eigenvalues at positive energies corresponding to unbound states.

# Átomo de hidrogênio

Harmônicos esféricos:

$$\psi(\mathbf{r}) = R(r)Y_l^m(\theta, \phi)$$

**Table 4.2:** The first few spherical harmonics,  $Y_l^m(\theta, \phi)$ .

---

$Y_0^0 = \left(\frac{1}{4\pi}\right)^{1/2}$	$Y_2^{\pm 2} = \left(\frac{15}{32\pi}\right)^{1/2} \sin^2 \theta e^{\pm 2i\phi}$
$Y_1^0 = \left(\frac{3}{4\pi}\right)^{1/2} \cos \theta$	$Y_3^0 = \left(\frac{7}{16\pi}\right)^{1/2} (5 \cos^3 \theta - 3 \cos \theta)$
$Y_1^{\pm 1} = \mp \left(\frac{3}{8\pi}\right)^{1/2} \sin \theta e^{\pm i\phi}$	$Y_3^{\pm 1} = \mp \left(\frac{21}{64\pi}\right)^{1/2} \sin \theta (5 \cos^2 \theta - 1) e^{\pm i\phi}$
$Y_2^0 = \left(\frac{5}{16\pi}\right)^{1/2} (3 \cos^2 \theta - 1)$	$Y_3^{\pm 2} = \left(\frac{105}{32\pi}\right)^{1/2} \sin^2 \theta \cos \theta e^{\pm 2i\phi}$
$Y_2^{\pm 1} = \mp \left(\frac{15}{8\pi}\right)^{1/2} \sin \theta \cos \theta e^{\pm i\phi}$	$Y_3^{\pm 3} = \mp \left(\frac{35}{64\pi}\right)^{1/2} \sin^3 \theta e^{\pm 3i\phi}$

---

# Átomo de hidrogênio

Harmônicos esféricos:

$$\psi(\mathbf{r}) = R(r)Y_l^m(\theta, \phi)$$

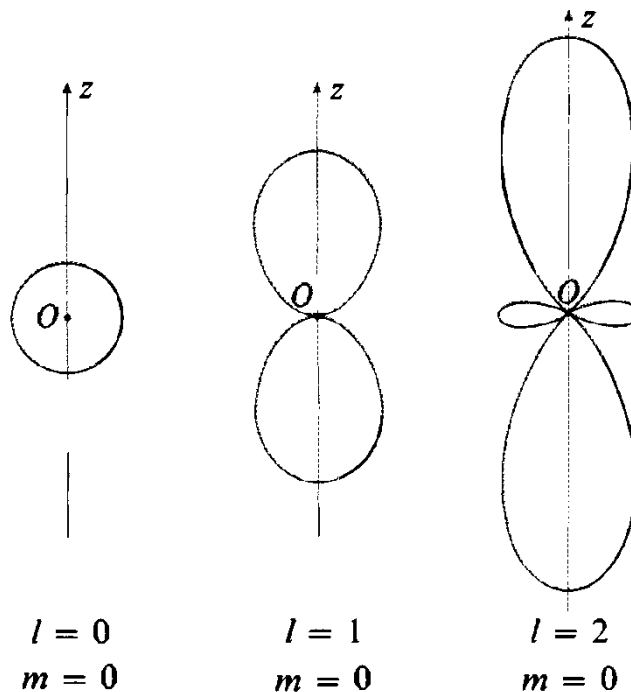


FIGURE 5

Angular dependence,  $Y_l^m(\theta, \phi)$ , of some stationary wave functions of the hydrogen atom, corresponding to well-defined values of  $l$  and  $m$ . For each direction of polar angles  $\theta, \phi$ , the value of  $|Y_l^m(\theta, \phi)|^2$  is recorded; a surface of revolution about the  $Oz$  axis is thus obtained. When  $l = 0$ , this surface is a sphere centered at  $O$ ; it becomes more complicated for higher values of  $l$ .

# Átomo de hidrogênio

## Soluções da Equação de Schrödinger:

$$\psi(\mathbf{r}) = R(r)Y_l^m(\theta, \phi)$$

$$\psi_{nlm} = \sqrt{\left(\frac{2}{na}\right)^3 \frac{(n-l-1)!}{2n[(n+l)!]^3}} e^{-r/na} \left(\frac{2r}{na}\right)^l L_{n-l-1}^{2l+1}\left(\frac{2r}{na}\right) Y_l^m(\theta, \phi)$$
$$\frac{1}{R} \frac{d}{dr} \left( r^2 \frac{dR}{dr} \right) - \frac{2mr^2}{\hbar^2} [V(r) - E] = l(l+1)$$

## Condição de normalização:

$$\int \psi_{nlm}^* \psi_{n'l'm'} r^2 \sin \theta dr d\theta d\phi = \delta_{nn'} \delta_{ll'} \delta_{mm'}$$

## Números quânticos:

$n \rightarrow$  número quântico principal

$l \rightarrow$  número quântico azimutal

$m \rightarrow$  número quântico magnético

**Table 4.4:** The first few Laguerre polynomials,  $L_q(x)$ .

$$L_0 = 1$$

$$L_1 = -x + 1$$

$$L_2 = x^2 - 4x + 2$$

$$L_3 = -x^3 + 9x^2 - 18x + 6$$

$$L_4 = x^4 - 16x^3 + 72x^2 - 96x + 24$$

$$L_5 = -x^5 + 25x^4 - 200x^3 + 600x^2 - 600x + 120$$

$$L_6 = x^6 - 36x^5 + 450x^4 - 2400x^3 + 5400x^2 - 4320x + 720$$

# Átomo de hidrogênio

Níveis de energia:

$$E_n = - \left[ \frac{m}{2\hbar^2} \left( \frac{e^2}{4\pi\epsilon_0} \right)^2 \right] \frac{1}{n^2} = \frac{E_1}{n^2}, \quad n = 1, 2, 3, \dots$$

$$\psi(\mathbf{r}) = R(r)Y_l^m(\theta, \phi)$$

Estado fundamental ( $n = 1$ ):

$$\psi_{100}(r, \theta, \phi) = \frac{1}{\sqrt{\pi a^3}} e^{-r/a}$$

Raio de Bohr:

$$a \equiv \frac{4\pi\epsilon_0\hbar^2}{me^2} = 0.529 \times 10^{-10} \text{ m}$$

$$E_1 = - \left[ \frac{m}{2\hbar^2} \left( \frac{e^2}{4\pi\epsilon_0} \right)^2 \right] = -13.6 \text{ eV}$$

$\Rightarrow$  Energia de ionização = 13,6 eV

# Átomo de hidrogênio

## Números quânticos e observáveis:

$n \rightarrow$  número quântico principal

$l \rightarrow$  número quântico azimutal

$m \rightarrow$  número quântico magnético

$m_s \rightarrow$  número quântico de spin

$n = 1, 2, 3, 4, \dots$

$l = 0, 1, 2, \dots, n-1$

$m = -l, -l+1, \dots, l-1, l$

$m_s = -1/2, 1/2$

Níveis: K, L, M, N, ...

Orbitais: s, p, d, f

$2l+1$  estados

2 estados

## Energia:

$$E_n = - \left[ \frac{m}{2h^2} \left( \frac{e^2}{4\pi\epsilon_0} \right)^2 \right] \frac{1}{n^2}$$

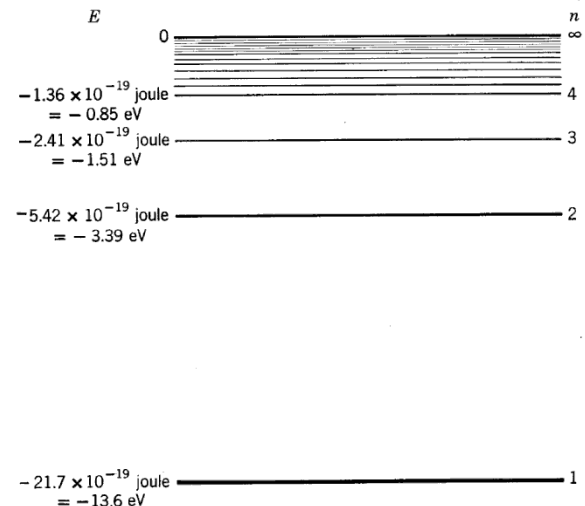


Figure 4-11 An energy-level diagram for the hydrogen atom.



# Átomo de hidrogênio

## Números quânticos e observáveis:

$n \rightarrow$  número quântico principal

$n = 1, 2, 3, 4, \dots$

Níveis: K, L, M, N, ...

$l \rightarrow$  número quântico azimutal

$l = 0, 1, 2, \dots, n-1$

Orbitais: s, p, d, f

$m \rightarrow$  número quântico magnético

$m = -l, -l+1, \dots, l-1, l$

$2l+1$  estados

$m_s \rightarrow$  número quântico de spin

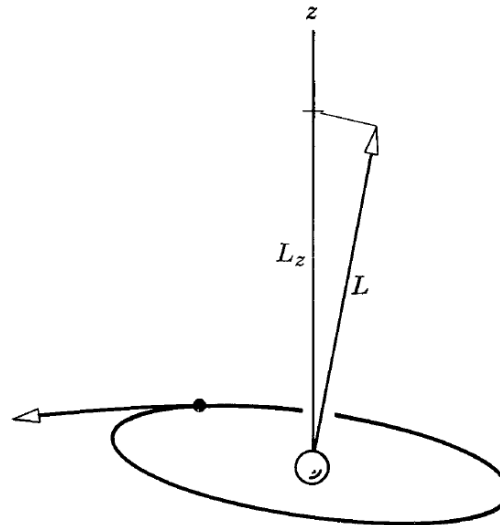
$m_s = -1/2, 1/2$

2 estados

## Momento angular orbital:

$$L^2 = l(l+1)\hbar^2$$

$$L_z = m\hbar$$



# Átomo de hidrogênio

## Números quânticos e observáveis:

$n \rightarrow$  número quântico principal

$l \rightarrow$  número quântico azimutal

$m \rightarrow$  número quântico magnético

$m_s \rightarrow$  número quântico de spin

$n = 1, 2, 3, 4, \dots$

$l = 0, 1, 2, \dots, n-1$

$m = -l, -l+1, \dots, l-1, l$

$m_s = -1/2, 1/2$

Níveis: K, L, M, N, ...

Orbitais: s, p, d, f

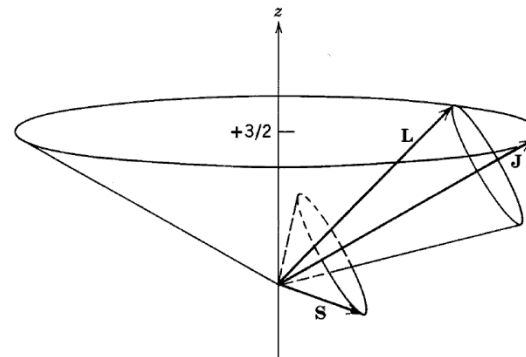
$2l+1$  estados

2 estados

## Momento angular de spin:

$$S^2 = s(s+1)\hbar^2 = \frac{3}{4}\hbar^2$$

$$S_z = m_s \hbar = \pm \frac{1}{2} \hbar$$

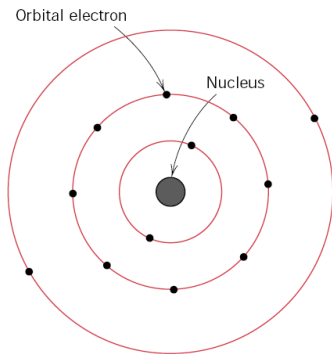


**Elétrons:**  $s = 1/2$

**Figure 8-8** The angular momentum vectors  $\mathbf{L}$ ,  $\mathbf{S}$ , and  $\mathbf{J}$  for a typical case of a state with  $l = 2$ ,  $j = 5/2$ ,  $m_j = 3/2$ . The vectors  $\mathbf{L}$  and  $\mathbf{S}$  precess uniformly about their sum  $\mathbf{J}$ , and  $\mathbf{J}$  can be found anywhere on the cone symmetrical about the  $z$  axis.

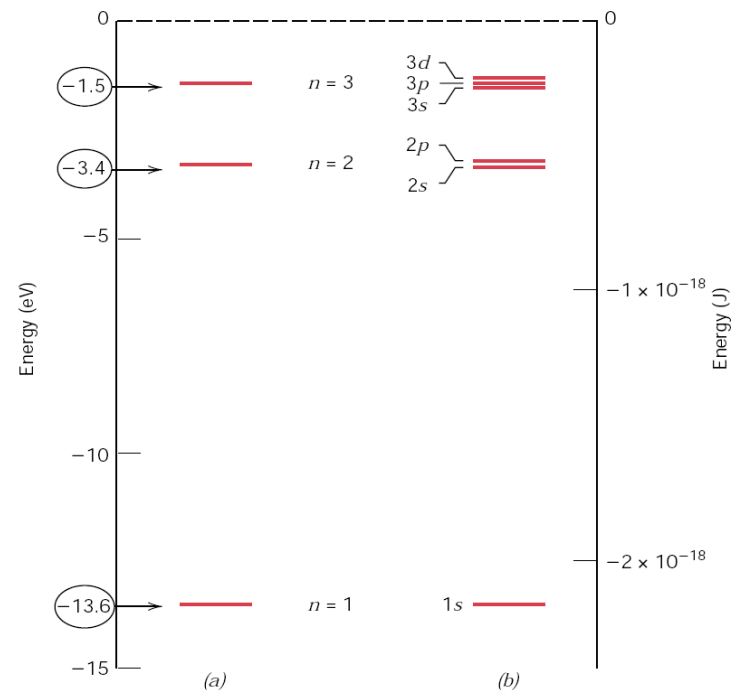
# Átomo de hidrogênio

## Níveis de energia:



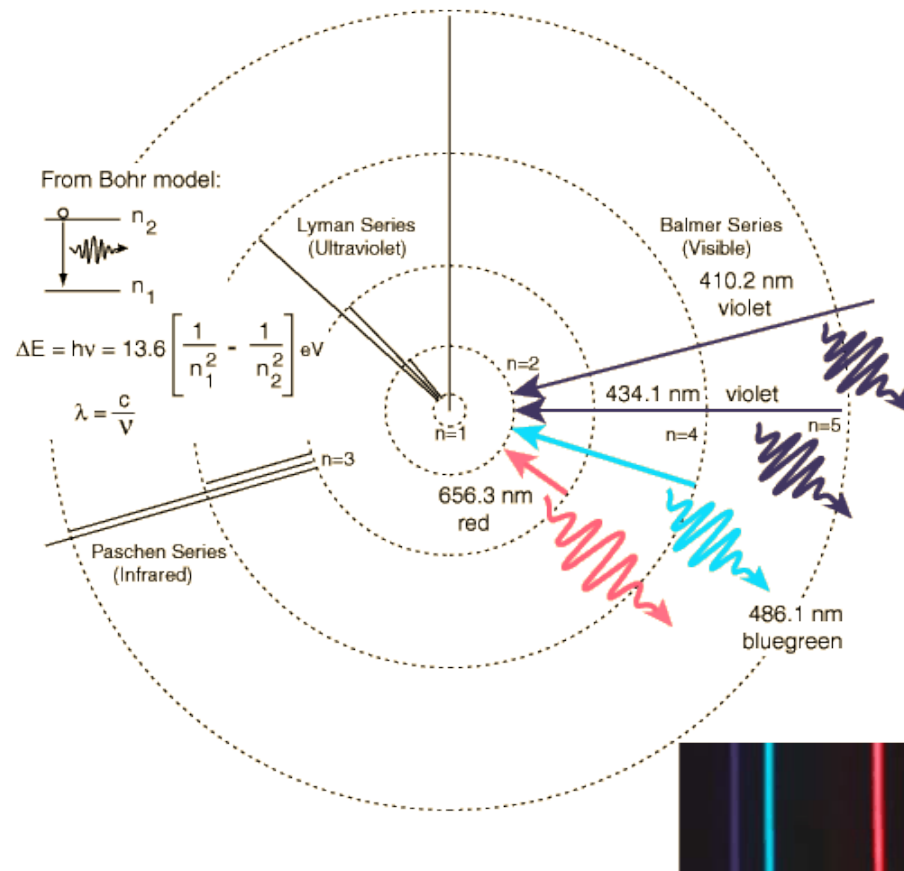
**FIGURE 2.1** Schematic representation of the Bohr atom.

**FIGURE 2.2** (a) The first three electron energy states for the Bohr hydrogen atom. (b) Electron energy states for the first three shells of the wave-mechanical hydrogen atom. (Adapted from W. G. Moffatt, G. W. Pearsall, and J. Wulff, *The Structure and Properties of Materials*, Vol. I, *Structure*, p. 10. Copyright © 1964 by John Wiley & Sons, New York. Reprinted by permission of John Wiley & Sons, Inc.)



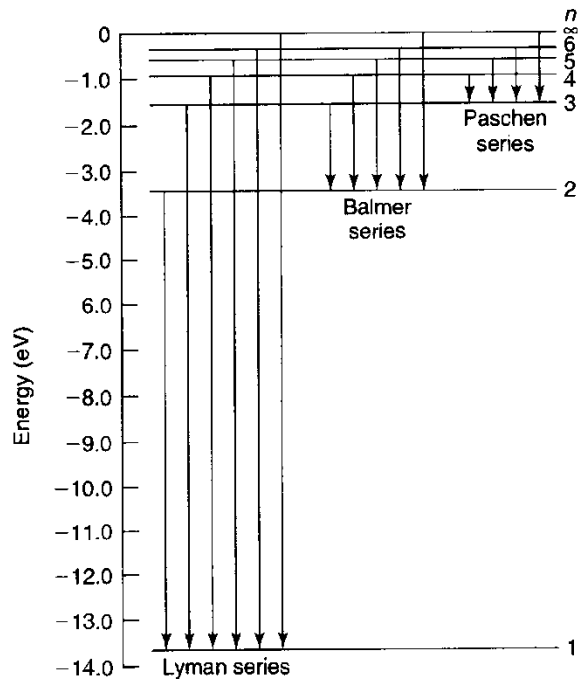
# Átomo de hidrogênio

## Espectro de emissão do hidrogênio:

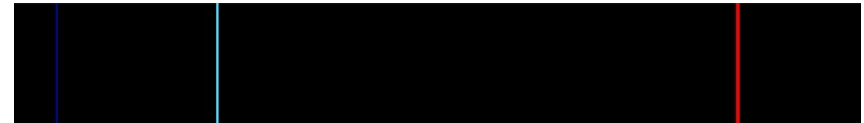


# Átomo de hidrogênio

## Espectro de emissão do hidrogênio:



$$E_n = -\frac{13,6 \text{ eV}}{n^2}$$



[http://en.wikipedia.org/wiki/Emission\\_spectrum](http://en.wikipedia.org/wiki/Emission_spectrum)

**Figure 4.5:** Energy levels and transitions in the spectrum of hydrogen.

# Átomo de hidrogênio

## Funções radiais:

**Table 4.6:** The first few radial wave functions for hydrogen,  $R_{nl}(r)$

---

$$R_{10} = 2a^{-3/2} \exp(-r/a)$$

---

$$R_{20} = \frac{1}{\sqrt{2}} a^{-3/2} \left( 1 - \frac{1}{2} \frac{r}{a} \right) \exp(-r/2a)$$

$$R_{21} = \frac{1}{\sqrt{24}} a^{-3/2} \frac{r}{a} \exp(-r/2a)$$

---

$$R_{30} = \frac{2}{\sqrt{27}} a^{-3/2} \left( 1 - \frac{2}{3} \frac{r}{a} + \frac{2}{27} \left( \frac{r}{a} \right)^2 \right) \exp(-r/3a)$$

$$R_{31} = \frac{8}{27\sqrt{6}} a^{-3/2} \left( 1 - \frac{1}{6} \frac{r}{a} \right) \left( \frac{r}{a} \right) \exp(-r/3a)$$

$$R_{32} = \frac{4}{81\sqrt{30}} a^{-3/2} \left( \frac{r}{a} \right)^2 \exp(-r/3a)$$

---

$$R_{40} = \frac{1}{4} a^{-3/2} \left( 1 - \frac{3}{4} \frac{r}{a} + \frac{1}{8} \left( \frac{r}{a} \right)^2 - \frac{1}{192} \left( \frac{r}{a} \right)^3 \right) \exp(-r/4a)$$

$$R_{41} = \frac{\sqrt{5}}{16\sqrt{3}} a^{-3/2} \left( 1 - \frac{1}{4} \frac{r}{a} + \frac{1}{80} \left( \frac{r}{a} \right)^2 \right) \frac{r}{a} \exp(-r/4a)$$

$$R_{42} = \frac{1}{64\sqrt{5}} a^{-3/2} \left( 1 - \frac{1}{12} \frac{r}{a} \right) \left( \frac{r}{a} \right)^2 \exp(-r/4a)$$

$$R_{43} = \frac{1}{768\sqrt{35}} a^{-3/2} \left( \frac{r}{a} \right)^3 \exp(-r/4a)$$

---

$$\psi(r) = R(r)Y_l^m(\theta, \phi)$$

# Átomo de hidrogênio

$$\psi(\mathbf{r}) = R(r)Y_l^m(\theta, \phi)$$

Funções radiais:

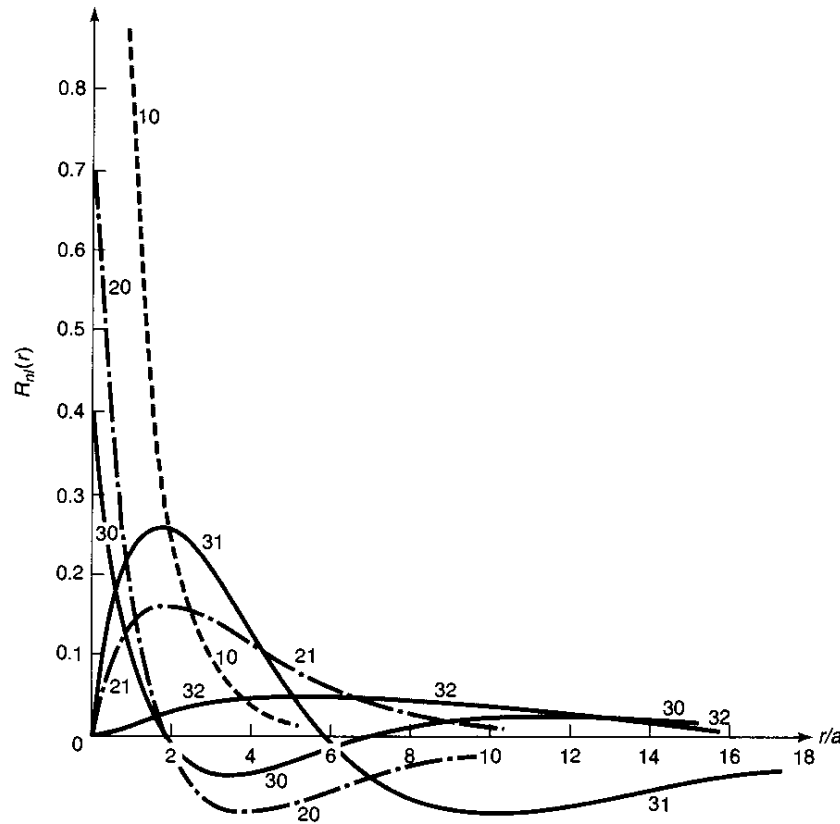


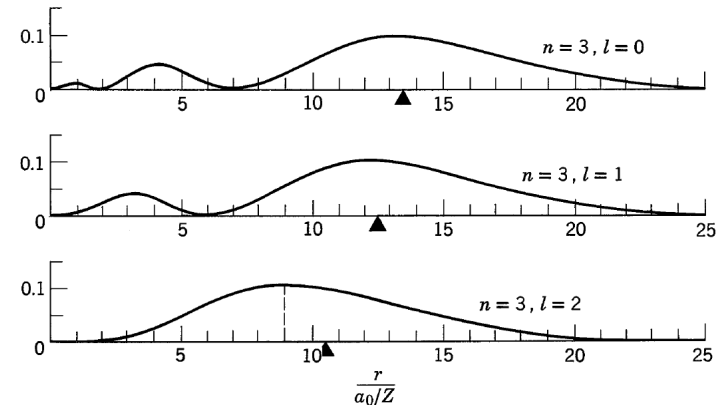
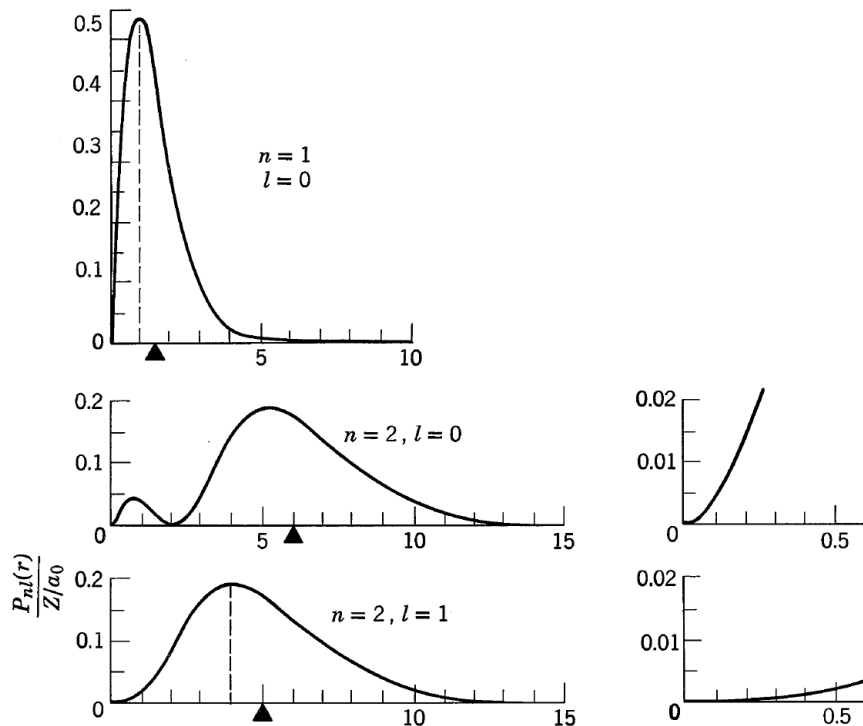
Figure 4.4: Graphs of the first few hydrogen radial wave functions,  $R_{nl}(r)$ .

# Átomo de hidrogênio

Distribuições radiais de densidade de probabilidade (densidade de carga):

$$\psi(\mathbf{r}) = R(r)Y_l^m(\theta, \phi)$$

$$P_{nl}(r)dr = R_{nl}^*(r)R_{nl}(r)4\pi r^2 dr$$



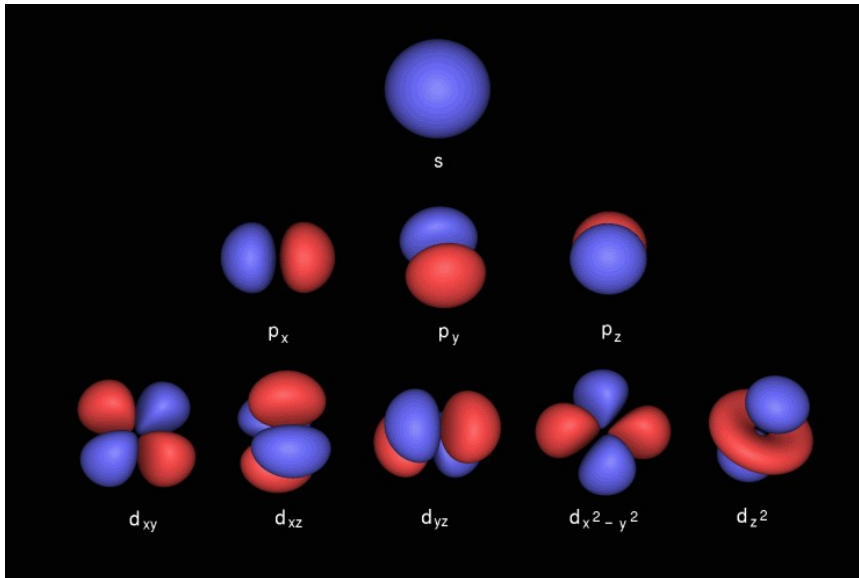
**Figure 7-5** The radial probability density for the electron in a one-electron atom for  $n = 1, 2, 3$  and the values of  $l$  shown. The triangle on each abscissa indicates the value of  $r_{nl}$  as given by (7-29). For  $n = 2$  the plots are redrawn with abscissa and ordinate scales expanded by a factor of 10 to show the behavior of  $P_{nl}(r)$  near the origin. Note that in the three cases for which  $l = l_{\max} = n - 1$  the maximum of  $P_{nl}(r)$  occurs at  $r_{\text{Bohr}} = n^2 a_0 / Z$ , which is indicated by the location of the dashed line.



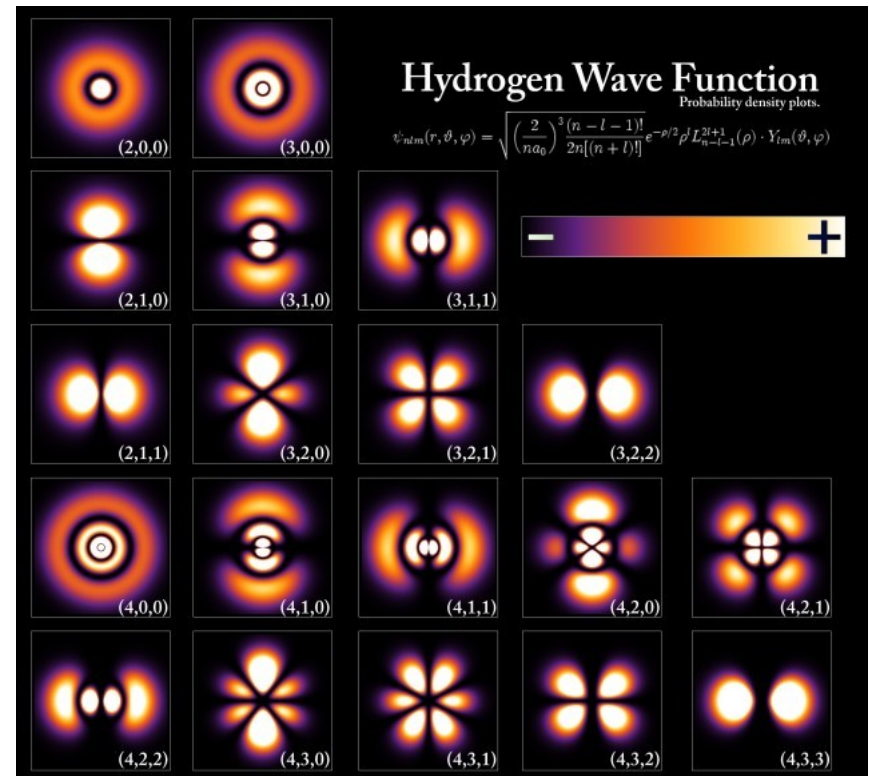
# Átomo de hidrogênio

# Átomo de hidrogênio

## Orbitais atômicos:



<http://www.chemcomp.com/journal/molorbbs.htm>



[http://www.physicsoftheuniverse.com/topics\\_quantum\\_probability.html](http://www.physicsoftheuniverse.com/topics_quantum_probability.html)

## Bibliografia:

- “*Materiais e Dispositivos Eletrônicos*”, Sergio M. Rezende, 2ª edição. São Paulo: Livraria da Física, 2004.
- “*Ciência e Engenharia de Materiais – uma Introdução*”, W. D. Callister Jr., 7ª edição. Rio de Janeiro: LTC, 2008.
- “*Física Quântica. Átomos, Moléculas, Sólidos, Núcleos e Partículas*”, R. Eisberg, R. Resnick, 6ª ed., Rio de Janeiro: Editora Campus, 1979.
- “*Introduction to Quantum Mechanics*”, D. J. Griffiths. New Jersey: Prentice Hall, 1995.
- “*Quantum Mechanics*”, C. Cohen-Tannoudji, B. Diu, F. Laloë. Paris: Hermann, 1977.
- “*Introduction to Scanning Tunelling Microscopy*”, C. J. Chen, 2nd ed. Oxford: Oxford University Press, 2008. Disponível em: [http://www.columbia.edu/~jcc2161/documents/STM\\_2ed.pdf](http://www.columbia.edu/~jcc2161/documents/STM_2ed.pdf)